

BitWell为专业的法拉电容供应商，可供应全钮扣系列、圆柱系列、法拉电容模组、防漏液法拉电容、灌胶系列法拉电容等全系列法拉电容。公司可按客户需求定制各种法拉电容模组，或者定制法拉电容均压保护板。

## BWD系列 单体灌胶密封法拉电容



### 产品特点

- 圆柱单体电容用环氧塑脂灌胶密封。
- 不改变电容原有直径，本体增高两点五毫米。
- 电容通过密封后可防漏液、抗震动、防潮湿。
- 提高电容在高温高湿环境下的工作可靠性。
- 体积小、容量大、内阻低、瞬间大电流放电。

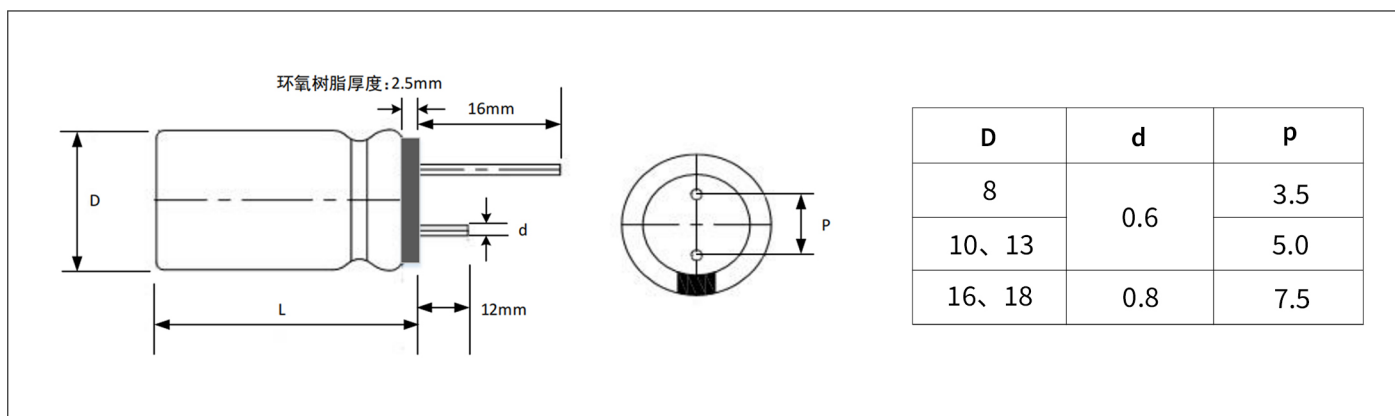
### 产品应用

行车记录仪、车载 DVR、工业电表、智能电表、水表、燃气表、工业控制器、实时时钟后备、存储器掉电数据保持、PLC 可编程控制器、空调控制器、工控仪表、CCTV、数码相机、音响、视频控制器。



| 产品系列 Series            |           | BWD系列单体灌胶密封法拉电容  |
|------------------------|-----------|--|
| 额定电压 (V <sub>R</sub> ) |           | 2.7V   |
| 工作温度 Temperature       |           | -40 ~ +65°C  |
| 容量误差 Tolerance         |           | -10 ~ +30%   |
| 温度特性                   | 测量方法      | 在 65°C 温度、V <sub>R</sub> 电压下，经过 1000 小时后，电容参数变化满足以下标准。 |
|                        | 容量变化      | 小于初始值的 30%   |
|                        | 内阻 ESR 变化 | 小于 2 倍的初始值   |
| 循环特性                   | 测量方法      | 电压在 V <sub>R</sub> 与 1/2V <sub>R</sub> 之间充放电循环         |
|                        | 循环次数      | 大于 50 万次   |
|                        | 容量变化      | 小于初始值的 30%   |
|                        | 内阻变化      | 小于 2 倍初始值  |
| 存储寿命 Shelf Life        |           | 在 70°C 无充电条件下储存 2 年，容量变化小于初始值 10%，内阻变化小于初始值的 50%       |

### 尺寸图



## 产品选型列表

| 型号<br>Part Number | 工作电压(V)<br>Operating voltage | 容量 (F)<br>Capacitance | 内阻 ESR (mΩ) |      | 尺寸 Size(mm) |
|-------------------|------------------------------|-----------------------|-------------|------|-------------|
|                   |                              |                       | AC,@1kHz    | DC   |             |
| BWD2R7105GM       | 2.7V                         | 1                     | ≤200        | ≤400 | 8(Φ)*16(L)  |
| BWD2R7205GM       |                              | 2                     | ≤130        | ≤250 | 8(Φ)*17(L)  |
| BWD2R7335GM       |                              | 3.3                   | ≤80         | ≤150 | 8(Φ)*23(L)  |
| BWD2R7505HM       |                              | 5                     | ≤65         | ≤150 | 8(Φ)*23(L)  |
| BWD2R7505AM       |                              | 5                     | ≤75         | ≤140 | 8(Φ)*28(L)  |
| BWD2R7505GM       |                              | 5                     | ≤70         | ≤130 | 10(Φ)*23(L) |
| BWD2R7705HM       |                              | 7                     | ≤60         | ≤140 | 8(Φ)*28(L)  |
| BWD2R7705GM       |                              | 7                     | ≤55         | ≤80  | 10(Φ)*23(L) |
| BWD2R7106GM       |                              | 10                    | ≤40         | ≤60  | 10(Φ)*33(L) |
| BWD2R7106AM       |                              | 10                    | ≤40         | ≤60  | 10(Φ)*28(L) |
| BWD2R7106CM       |                              | 10                    | ≤35         | ≤55  | 13(Φ)*23(L) |
| BWD2R7156GM       |                              | 15                    | ≤35         | ≤50  | 13(Φ)*28(L) |
| BWD2R7206GM       |                              | 20                    | ≤30         | ≤40  | 13(Φ)*33(L) |
| BWD2R7256GM       |                              | 25                    | ≤25         | ≤35  | 16(Φ)*28(L) |
| BWD2R7306GM       |                              | 30                    | ≤22         | ≤30  | 16(Φ)*34(L) |
| BWD2R7506GM       |                              | 50                    | ≤15         | ≤22  | 18(Φ)*43(L) |
| BWD2R7107GM       |                              | 100                   | ≤12         | ≤18  | 18(Φ)*63(L) |

